
Cálculo vetorial integral

Unidade 1/4

Prof. Carlyle Câmara Santos Júnior

Instituto Federal de Santa Catarina – Campus São José
Engenharia de Telecomunicações
Eletromagnetismo (EMG129005) – 5ª Fase

`carlyle.camara@ifsc.edu.br`

2 de abril de 2025



- 1 Observações gerais
- 2 Integrais de linha
- 3 Integrais de superfície
- 4 Integrais de volume
- 5 Síntese
- 6 Referências

Observações gerais



■ Conteúdos:

- 1 Integral de linha.
- 2 Integral de superfície.
- 3 Integral de volume.

■ Objetivo:

- 1 Adquirir proficiência para calcular integrais de linha, de superfície e de volume para resolver problemas básicos no estudo do eletromagnetismo.

Integrais de linha

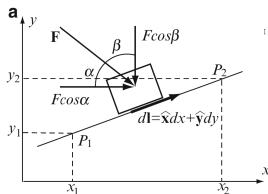


- Frequentemente, precisamos integrar funções vetoriais.
- Por exemplo, para calcular o trabalho realizado por uma força, precisamos integrá-la ao longo de um certo caminho.
- Embora a força seja uma função vetorial, bem como o caminho, o resultado dessa integração é uma grandeza escalar (trabalho).
- Além disso, também trataremos de integrais de superfície e integrais de volume.
- A única diferença para as operações realizadas no cálculo está no tratamento do integrando e na sua interpretação física.



- Analisemos o problema de calcular o trabalho realizado por uma força, conforme a imagem abaixo.
- Supomos que a força varie com o espaço e que ela seja aplicada em uma direção arbitrária.
- Para realizar essa operação, separamos a força em duas componentes:

$$W = \int_{x_1}^{x_2} F(x,y) \cos \alpha dx + \int_{y_1}^{y_2} F(x,y) \cos \beta dy. \quad (1)$$





- Agora, notamos que

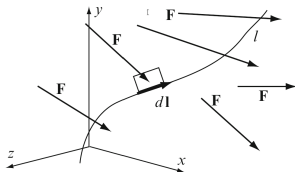
$$F(x,y) \cos \alpha = \mathbf{F} \cdot \hat{\mathbf{x}}, \quad F(x,y) \cos \beta = \mathbf{F} \cdot \hat{\mathbf{y}}. \quad (2)$$

- Com isso, podemos reescrever o trabalho assim:

$$W = \int_{x_1}^{x_2} \mathbf{F} \cdot \hat{\mathbf{x}} dx + \int_{y_1}^{y_2} \mathbf{F} \cdot \hat{\mathbf{y}} dy. \quad (3)$$

- Lembramos que, no plano x-y, o diferencial de comprimento se escreve como $d\mathbf{l} = dx\hat{\mathbf{x}} + dy\hat{\mathbf{y}}$, portanto

$$W = \int_{P_1}^{P_2} \mathbf{F} \cdot d\mathbf{l}. \quad (4)$$



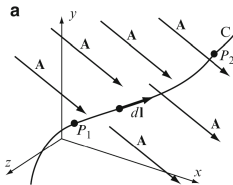


- Para um campo vetorial \mathbf{A} qualquer e para um caminho arbitrário C , definimos a integral de linha de \mathbf{A} ao longo de C da seguinte maneira:

$$\int_C \mathbf{A} \cdot d\mathbf{l} = \int_C |\mathbf{A}| |d\mathbf{l}| \cos \theta_{\mathbf{A}, d\mathbf{l}}. \quad (5)$$

- Caso a integral de linha seja especificada em termos de dois pontos, então reescrevemos a Eq. (5) deste modo:

$$\int_{P_1}^{P_2} \mathbf{A} \cdot d\mathbf{l} = \int_{P_1}^{P_2} |\mathbf{A}| |d\mathbf{l}| \cos \theta_{\mathbf{A}, d\mathbf{l}}. \quad (6)$$

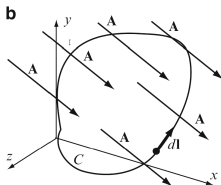




- Um caso particular muito importante é a integral de linha de um campo vetorial \mathbf{A} ao longo de um caminho fechado:

$$\oint_C \mathbf{A} \cdot d\mathbf{l} = \oint_C |\mathbf{A}| |d\mathbf{l}| \cos \theta_{\mathbf{A}, d\mathbf{l}}. \quad (7)$$

- Chamamos essa integral de **circulação** de \mathbf{A} ao longo de C .
- A depender do campo vetorial, a circulação pode ser zero ou diferente de zero.



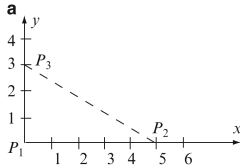


- Definimos dois tipos de campos vetoriais, de acordo com a sua circulação:
 - 1 Quando a circulação de um campo vetorial é nula para **qualquer** caminho fechado, dizemos que ele é conservativo (ou restaurativo).
 - 2 Quando a circulação de um campo vetorial é diferente de zero para **algum** caminho fechado, dizemos que ele é não conservativo (ou não restaurativo).
- No caso de um campo conservativo, o trabalho realizado por uma força ao longo de qualquer caminho fechado é nulo, ou seja, só depende dos pontos inicial e final.
- No caso de um campo não conservativo, o trabalho realizado por uma força ao longo de um caminho fechado depende da trajetória escolhida.

Exemplo 1.4.1 – Enunciado [1]



- Considere um campo vetorial definido por $\mathbf{F} = 2x\hat{\mathbf{x}} + 2y\hat{\mathbf{y}}$.
 - (a) Trace um rascunho do campo vetorial no plano x-y.
 - (b) Suponha que \mathbf{F} represente uma força e calcule o trabalho realizado ao longo do caminho pontilhado entre os pontos $P_2(5,0)$ e $P_3(0,3)$.
 - (c) Verifique se o trabalho depende do caminho entre os pontos P_2 e P_3 .

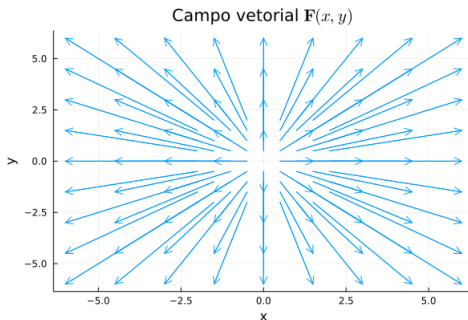


Exemplo 1.4.1 – Solução [1]



(a) Na origem, o campo vetorial é nulo.

- Em qualquer outro ponto, o vetor possui componentes nas direções x e y .
- A magnitude depende da localização do campo, isto é, os vetores têm diferentes comprimentos para diferentes pontos.



Exemplo 1.4.1 – Solução (cont.) [1]



- (b) Do ponto P_2 para P_3 , o elemento de caminho vale $d\mathbf{l} = dx\hat{\mathbf{x}} + dy\hat{\mathbf{y}}$, portanto a integração é dada por

$$\int_{P_2}^{P_3} \mathbf{F} \cdot d\mathbf{l} = \int_{P_2}^{P_3} (2x\hat{\mathbf{x}} + 2y\hat{\mathbf{y}}) \cdot (dx\hat{\mathbf{x}} + dy\hat{\mathbf{y}}) = \int_{P_2}^{P_3} (2xdx + 2ydy).$$

- Notamos que cada parcela do integrando depende de uma única variável, logo podemos separar a integração em duas partes (uma para x e outra para y):

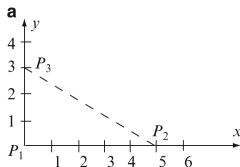
$$\int_{P_2}^{P_3} \mathbf{F} \cdot d\mathbf{l} = \int_5^0 2xdx + \int_0^3 2ydy = -16 \text{ J}.$$

- Como o trabalho é negativo, isso significa que a energia potencial diminui, ou seja, o trabalho é realizado pelo campo.

Exemplo 1.4.1 – Solução (cont.) [1]



- (c) Calculemos a integral de linha de P_2 até P_3 através de outro caminho.
- Especificamente, consideremos o caminho de P_2 a P_1 e, depois, de P_1 a P_3 .
 - Em cada um desses trechos, temos integrais separadas.



Exemplo 1.4.1 – Solução (cont.) [1]



- No caminho de P_2 até P_1 , o diferencial de caminho vale $d\mathbf{l} = dx\hat{\mathbf{x}}$, consequentemente

$$\int_{P_2}^{P_1} \mathbf{F} \cdot d\mathbf{l} = \int_{P_2}^{P_1} (2x\hat{\mathbf{x}} + 2y\hat{\mathbf{y}}) \cdot (dx\hat{\mathbf{x}}) = \int_5^0 2x dx = -25 \text{ J.}$$

- No caminho de P_1 até P_3 , o diferencial de caminho vale $d\mathbf{l} = dy\hat{\mathbf{y}}$ e, portanto,

$$\int_{P_1}^{P_3} \mathbf{F} \cdot d\mathbf{l} = \int_{P_1}^{P_3} (2x\hat{\mathbf{x}} + 2y\hat{\mathbf{y}}) \cdot (dy\hat{\mathbf{y}}) = \int_0^3 2y dy = 9 \text{ J.}$$

- Ao somar os dois resultados, obtemos o mesmo trabalho de antes.
- Isso significa que, no caminho fechado em questão, o trabalho realizado é nulo.
- Contudo, não sabemos ainda se o campo é conservativo, porque precisamos verificar se a integral de linha é nula para todos os caminhos.



- Considere um campo vetorial definido por $\mathbf{A} = xy\hat{\mathbf{x}} + (3x^2 + y)\hat{\mathbf{y}}$.
Calcule a circulação desse campo vetorial ao longo do círculo unitário centrado na origem.

Exemplo 1.4.2 – Solução [1]

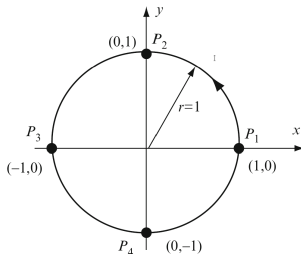


- Segmentamos o caminho de integração em quatro trechos: P_1 para P_2 ; P_2 para P_3 ; P_3 para P_4 ; e P_4 para P_1 .
- No plano x - y , o diferencial de caminho vale $d\mathbf{l} = dx\hat{\mathbf{x}} + dy\hat{\mathbf{y}}$, portanto o produto escalar no integrando é dado por

$$\mathbf{A} \cdot d\mathbf{l} = [xy\hat{\mathbf{x}} + (3x^2 + y)\hat{\mathbf{y}}] \cdot (dx\hat{\mathbf{x}} + dy\hat{\mathbf{y}}) = xydx + (3x^2 + y)dy.$$

- Com isso, calculamos a circulação assim:

$$\oint_C \mathbf{A} \cdot d\mathbf{l} = \oint_C [xydx + (3x^2 + y)dy].$$



Exemplo 1.4.2 – Solução (cont.) [1]



- Para calcular a integral, queremos reescrever o integrando de modo que cada parcela dependa de uma só variável.
- Para tanto, usamos a equação do círculo unitário:

$$x = (1 - y^2)^{\frac{1}{2}}, y = (1 - x^2)^{\frac{1}{2}}.$$

- Com as devidas substituições, temos:

$$\oint_C \mathbf{A} \cdot d\mathbf{l} = \oint_C \{x(1 - x^2)^{\frac{1}{2}} dx + [3(1 - y^2) + y] dy\}$$

- Agora, cada parcela do integrando depende de uma única variável.
- Na sequência, separamos a integral fechada em quatro segmentos:

$$\oint_C \mathbf{A} \cdot d\mathbf{l} = \int_{P_1}^{P_2} \mathbf{A} \cdot d\mathbf{l} + \int_{P_2}^{P_3} \mathbf{A} \cdot d\mathbf{l} + \int_{P_3}^{P_4} \mathbf{A} \cdot d\mathbf{l} + \int_{P_4}^{P_1} \mathbf{A} \cdot d\mathbf{l}.$$

Exemplo 1.4.2 – Solução (cont.) [1]



- Avaliamos cada integral separadamente:

$$\begin{aligned}\int_{P_1}^{P_2} \mathbf{A} \cdot d\mathbf{l} &= \int_{P_1}^{P_2} [x(1-x^2)^{\frac{1}{2}} dx + (3-3y^2+y)dy] \\ &= \int_1^0 x(1-x^2)^{\frac{1}{2}} dx + \int_0^1 (3-3y^2+y)dy = \frac{13}{6}; \\ \int_{P_2}^{P_3} \mathbf{A} \cdot d\mathbf{l} &= \int_0^{-1} x(1-x^2)^{\frac{1}{2}} dx + \int_1^0 (3-3y^2+y)dy = -\frac{13}{6}; \\ \int_{P_3}^{P_4} \mathbf{A} \cdot d\mathbf{l} &= \int_{-1}^0 x(1-x^2)^{\frac{1}{2}} dx + \int_0^{-1} (3-3y^2+y)dy = -\frac{11}{6}; \\ \int_{P_4}^{P_1} \mathbf{A} \cdot d\mathbf{l} &= \int_0^1 x(1-x^2)^{\frac{1}{2}} dx + \int_{-1}^0 (3-3y^2+y)dy = \frac{11}{6};\end{aligned}$$

- Ao somar os quatro resultados acima, obtemos a circulação requerida:

$$\oint_C \mathbf{A} \cdot d\mathbf{l} = 0.$$

Exercício 1.4.2 – Enunciado [1]



- Resolva o Exemplo 1.4.2 no sistema de coordenadas cilíndricas.



- Considere uma força definida por $\mathbf{F} = (2x - y)\hat{\mathbf{x}} + (x + y + z)\hat{\mathbf{y}} + (2z - x)\hat{\mathbf{z}}$ N. Calcule o trabalho necessário para mover uma partícula ao longo do círculo de 1 m de raio, com centro na origem. A trajetória se localiza no plano x-y, isto é, $z = 0$.

Exemplo 1.4.3 – Solução [1]



- Para simplificar os cálculos, transformaremos o problema para o sistema de coordenadas cilíndricas.
- Além disso, notamos que, no plano x-y, temos $z = 0$, logo

$$\mathbf{F}|_{z=0} = (2x - y)\hat{\mathbf{x}} + (x + y)\hat{\mathbf{y}} - x\hat{\mathbf{z}} \text{ N.}$$

- Assim, a integral de caminho fechado é dada por

$$\begin{aligned}\oint_C \mathbf{F} \cdot d\mathbf{l} &= \oint_C [(2x - y)\hat{\mathbf{x}} + (x + y)\hat{\mathbf{y}} - x\hat{\mathbf{z}}] \cdot (dx\hat{\mathbf{x}} + dy\hat{\mathbf{y}}) \\ &= \oint_C [(2x - y)dx + (x + y)dy].\end{aligned}$$

- Para fazer a conversão para coordenadas cilíndricas, consideramos as seguintes relações:

$$x = r \cos \phi = \cos \phi \Rightarrow dx = -\sin \phi d\phi;$$

$$y = r \sin \phi = \sin \phi \Rightarrow dy = \cos \phi d\phi.$$



- Com essas substituições, calculamos assim a circulação do campo \mathbf{F} :

$$\begin{aligned}\oint_C \mathbf{F} \cdot d\mathbf{l} &= \int_0^{2\pi} [(2 \cos \phi - \sin \phi)(-\sin \phi d\phi) + (\cos \phi + \sin \phi) \cos \phi d\phi] \\ &= \int_0^{2\pi} (1 - \cos \phi \sin \phi) d\phi \\ &= 2\pi \text{ J.}\end{aligned}$$



- Com essas substituições, calculamos assim a circulação do campo \mathbf{F} :

$$\begin{aligned}\oint_C \mathbf{F} \cdot d\mathbf{l} &= \int_0^{2\pi} [(2 \cos \phi - \sin \phi)(-\sin \phi d\phi) + (\cos \phi + \sin \phi) \cos \phi d\phi] \\ &= \int_0^{2\pi} (1 - \cos \phi \sin \phi) d\phi \\ &= 2\pi \text{ J.}\end{aligned}$$

- Como a circulação é diferente de zero ao longo do círculo unitário centrado na origem, concluímos que o campo é não conservativo.



- Com essas substituições, calculamos assim a circulação do campo \mathbf{F} :

$$\begin{aligned}\oint_C \mathbf{F} \cdot d\mathbf{l} &= \int_0^{2\pi} [(2 \cos \phi - \sin \phi)(-\sin \phi d\phi) + (\cos \phi + \sin \phi) \cos \phi d\phi] \\ &= \int_0^{2\pi} (1 - \cos \phi \sin \phi) d\phi \\ &= 2\pi \text{ J.}\end{aligned}$$

- Como a circulação é diferente de zero ao longo do círculo unitário centrado na origem, concluímos que o campo é não conservativo.
- Em outras palavras, o trabalho realizado para deslocar a partícula de 0 até π é diferente do trabalho para deslocar a mesma partícula de 0 até $-\pi$.

Integrais de superfície

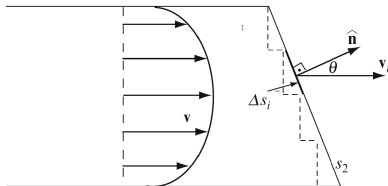


- Consideremos o problema de calcular a taxa de fluxo (massa por unidade de tempo) de um fluido de velocidade variável (viscoso) através de uma superfície arbitrária, caso conheçamos o perfil da velocidade.
- Para tanto, precisamos calcular a seguinte integral:

$$Q = \iint_{S_2} \rho \mathbf{v} \cdot \hat{\mathbf{n}} ds_2, \quad (8)$$

em que $\hat{\mathbf{n}}$ é o vetor unitário normal à superfície e ρ é a densidade de massa do fluido

- Assim, notamos que o que importa é a componente normal da velocidade do fluido.



Integrais de superfície [1]

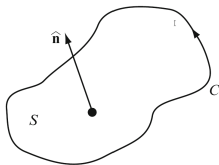


- Para um campo vetorial \mathbf{A} e para uma superfície arbitrária S , definimos a integral de superfície de \mathbf{A} em S da seguinte maneira:

$$Q = \iint_S \mathbf{A} \cdot \hat{\mathbf{n}} ds = \iint_S \mathbf{A} \cdot d\mathbf{s}, \quad (9)$$

em que $\hat{\mathbf{n}} ds = d\mathbf{s}$.

- A integral de superfície corresponde a um valor escalar.
- No contexto do eletromagnetismo, ela é chamada de fluxo.



Integrais de superfície [1]

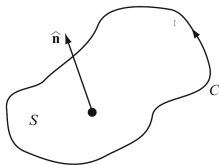


- Para um campo vetorial \mathbf{A} e para uma superfície arbitrária S , definimos a integral de superfície de \mathbf{A} em S da seguinte maneira:

$$Q = \iint_S \mathbf{A} \cdot \hat{\mathbf{n}} ds = \iint_S \mathbf{A} \cdot d\mathbf{s}, \quad (9)$$

em que $\hat{\mathbf{n}} ds = d\mathbf{s}$.

- A integral de superfície corresponde a um valor escalar.
- No contexto do eletromagnetismo, ela é chamada de fluxo.
- Para definir a direção positiva do vetor unitário, temos:
 - 1 Se a superfície for fechada, a direção positiva é aquela que aponta para fora do volume;
 - 2 Se a superfície for aberta, então consideramos a regra da mão de direita com base na orientação do contorno que envolve a superfície.





- Para uma superfície fechada S , usamos uma notação especial para definir a integral de superfície fechada:

$$Q = \oiint_S \mathbf{A} \cdot d\mathbf{s}, \quad (10)$$

- A integral de superfície fechada define o fluxo total que passa através de uma dada superfície.

Exemplo 1.4.4 – Enunciado [1]



- Dado o vetor $\mathbf{A} = 2xz\hat{\mathbf{x}} + 2xz\hat{\mathbf{y}} - yz\hat{\mathbf{z}}$, calcule a sua integral de superfície fechada ao longo da superfície de um cubo, o qual ocupa a região definida por $0 \leq x \leq 1$, $0 \leq y \leq 1$, $0 \leq z \leq 1$.

Exemplo 1.4.4 – Solução [1]



- Conforme a figura abaixo, temos seis elementos diferenciais de superfície:

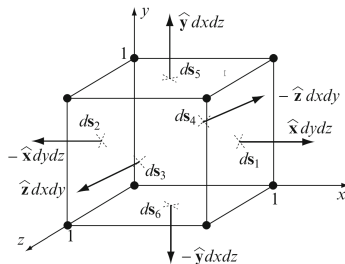
$$ds_1 = dydz\hat{\mathbf{x}}, \quad ds_2 = -dydz\hat{\mathbf{x}}$$

$$ds_3 = dxdy\hat{\mathbf{z}}, \quad ds_4 = -dxdy\hat{\mathbf{z}}$$

$$ds_5 = dxdz\hat{\mathbf{y}}, \quad ds_6 = -dxdz\hat{\mathbf{y}}$$

- Com isso, dividimos a integral de superfície em seis partes:

$$\oiint_S \mathbf{A} \cdot d\mathbf{s} = \iint_{S_1} \mathbf{A} \cdot d\mathbf{s}_1 + \iint_{S_2} \mathbf{A} \cdot d\mathbf{s}_2 + \cdots + \iint_{S_6} \mathbf{A} \cdot d\mathbf{s}_6.$$



Exemplo 1.4.4 – Solução (cont.) [1]



- Calculamos cada integral separadamente.
- No lado 1, temos

$$\begin{aligned}\iint_{S_1} \mathbf{A} \cdot d\mathbf{s}_1 &= \iint_{S_1} (2xz\hat{\mathbf{x}} + 2xz\hat{\mathbf{y}} - yz\hat{\mathbf{z}}) \cdot (dydz\hat{\mathbf{x}}) \\ &= \iint_{S_1} 2xz \, dydz\end{aligned}$$

- Para resolver essa integral, usamos o fato de que $x = 1$ no lado 1:

$$\iint_{S_1} \mathbf{A} \cdot d\mathbf{s}_1 = \int_0^1 \int_0^1 2z \, dzdy = 1.$$

- No lado 2, temos $d\mathbf{s}_2 = -d\mathbf{s}_1$ e $x = 0$:

$$\iint_{S_2} \mathbf{A} \cdot d\mathbf{s}_2 = - \iint_{S_2} 2xz \, dydz = 0.$$

Exemplo 1.4.4 – Solução (cont.) [1]



- No lado 3, observamos que $z = 1$, portanto

$$\begin{aligned}\iint_{S_3} \mathbf{A} \cdot d\mathbf{s}_3 &= \iint_{S_3} (2xz\hat{\mathbf{x}} + 2xz\hat{\mathbf{y}} - yz\hat{\mathbf{z}}) \cdot (dxdy\hat{\mathbf{z}}) \\ &= - \iint_{S_3} yz \, dxdy = - \int_0^1 \int_0^1 y \, dydx = -\frac{1}{2}\end{aligned}$$

- No lado 4, temos $d\mathbf{s}_4 = -d\mathbf{s}_3$ e $z = 0$:

$$\iint_{S_4} \mathbf{A} \cdot d\mathbf{s}_4 = \iint_{S_4} yz \, dxdy = 0.$$

Exemplo 1.4.4 – Solução (cont.) [1]



- No lado 5, observamos que $y = 1$, portanto

$$\begin{aligned}\iint_{S_5} \mathbf{A} \cdot d\mathbf{s}_5 &= \iint_{S_5} (2xz\hat{\mathbf{x}} + 2xz\hat{\mathbf{y}} - yz\hat{\mathbf{z}}) \cdot (dx dz \hat{\mathbf{y}}) \\ &= \iint_{S_5} 2xz \, dx dz = \int_0^1 \int_0^1 2xz \, dx dz = \frac{1}{2}\end{aligned}$$

- No lado 6, temos $d\mathbf{s}_6 = -d\mathbf{s}_5$ e $y = 0$:

$$\iint_{S_6} \mathbf{A} \cdot d\mathbf{s}_6 = - \iint_{S_6} 2xz \, dx dz = -\frac{1}{2}.$$

- Ao somar as seis integrais, chegamos a este resultado:

$$\oiint_S \mathbf{A} \cdot d\mathbf{s} = 1 + 0 - \frac{1}{2} + 0 + \frac{1}{2} - \frac{1}{2} = \frac{1}{2}.$$



- Um vetor é dado em coordenadas cilíndricas por $\mathbf{A} = 5r\hat{\phi}$. Calcule o seu fluxo através da uma superfície definida por por $0 \leq r \leq 1$, $-3 \leq z \leq 3$ e ϕ constante.

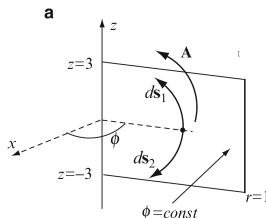
Exemplo 1.4.5 – Solução [1]



- O fluxo a ser calculado corresponde à seguinte integral:

$$\Phi = \iint_S \mathbf{A} \cdot d\mathbf{s}.$$

- Conforme a figura abaixo, a superfície S se localiza no plano r - z e é perpendicular à direção ϕ .
- Assim, o diferencial de superfície é $d\mathbf{s}_1 = drdz\hat{\phi}$ ou $d\mathbf{s}_2 = -drdz\hat{\phi}$.





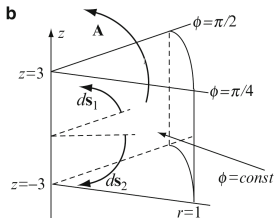
- Para que o fluxo seja positivo, consideramos $d\mathbf{s}_1 = drdz\hat{\phi}$.
- Assim, o fluxo é calculado da seguinte maneira:

$$\begin{aligned}\Phi &= \iint_{S_1} (5r\hat{\phi}) \cdot (drdz\hat{\phi}) = \iint_{S_1} 5rdrdz \\ &= \int_0^1 \int_{-3}^3 5rdzdr = 15.\end{aligned}$$

Exercício 1.4.5 – Enunciado [1]



- Considere a superfície mostrada na figura abaixo e calcule a integral de superfície fechada do campo vetorial $\mathbf{A} = 5r\hat{\phi}^1$.



$$^1\Phi = 0.$$

Integrais de volume

Tipos de integrais de volume

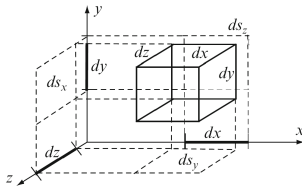


- Consideramos dois tipos de integrais de volume.
- No primeiro caso, temos a seguinte definição:

$$W = \iiint_V w \, dv, \quad (11)$$

em que w é uma função escalar que representa uma densidade volumétrica e dv é um elemento infinitesimal de volume.

- O resultado é uma quantidade escalar.
- Por exemplo, se w é uma densidade de energia, então W corresponde à energia total armazenada no volume V .
- No sistema de coordenadas cartesianas, $dv = dx dy dz$.





- O segundo tipo de integral de volume é dado pela equação

$$\mathbf{P} = \iiint_V \mathbf{p} \, dv, \quad (12)$$

- O resultado é uma quantidade vetorial e a integral precisa ser calculada para cada coordenada separadamente.
- No sistema de coordenadas cartesianas, temos

$$\mathbf{P} = \hat{\mathbf{x}} \iiint_V p_x \, dv + \hat{\mathbf{y}} \iiint_V p_y \, dv + \hat{\mathbf{z}} \iiint_V p_z \, dv. \quad (13)$$



- Este exemplo aborda integrais de volume escalares.
 - (a) Calcule o volume de uma seção da esfera $x^2 + y^2 + z^2 = 16$, a qual é delimitada por cortes dos planos $y = 0$, $z = 2$, $x = 1$ e $x = -1$.
 - (b) Calcule o volume da seção da mesma esfera que é delimitada por cortes dos planos $\theta = \pi/6$, $\theta = \pi/3$, $\phi = 0$ e $\phi = \pi/3$.

Exemplo 1.4.6 – Solução [1]

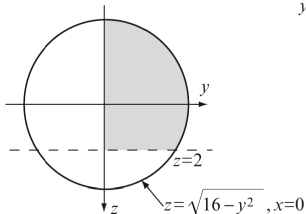


(a) Para calcular a integral, precisamos dos limites de integração, os quais obtemos a partir das figuras a seguir.

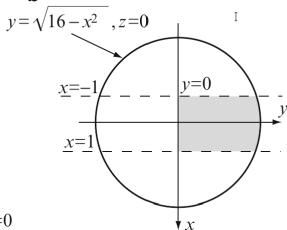
■ Com base nisso, fazemos estas considerações:

- Os limites de integração em z são $z_1 = -\sqrt{16 - x^2 - y^2}$ e $z_2 = 2$;
- Os limites de integração em y são $y_1 = 0$ e $y_2 = \sqrt{16 - x^2}$;
- Os limites de integração em x são $x_1 = -1$ e $x_2 = 1$.

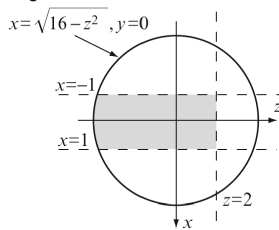
a



b



c



Exemplo 1.4.6 – Solução (cont.) [1]



- Utilizamos o sistema de coordenadas cartesianas porque os planos de corte são paralelos a seus eixos.
- Assim, temos $dv = dxdydz$ e

$$\begin{aligned}v &= \iiint_V dv = \int_{-1}^1 \int_0^{\sqrt{16-x^2}} \int_{-\sqrt{16-x^2-y^2}}^2 dz dy dx \\&= 2\sqrt{15} + 32 \arcsen(0,25) + \pi \left(8 - \frac{1}{6}\right) \approx 40,44.\end{aligned}$$

- Portanto, se as dimensões forem dadas em m, então o volume será de $40,44 \text{ m}^3$.



(b) Agora, consideramos o sistema de coordenadas esféricas, pois os planos de corte são paralelos a seus eixos.

- Assim, temos $dv = R^2 \sin \theta dR d\theta d\phi$.
- Os limites de integração são $0 \leq R \leq 4$, $\pi/6 \leq \theta \leq \pi/3$ e $0 \leq \phi \leq \pi/3$, portanto

$$v = \iiint_V dv = \int_0^4 \int_{\pi/6}^{\pi/3} \int_0^{\pi/3} R^2 \sin \theta d\phi d\theta dR \approx 8,177.$$

- Portanto, se as dimensões forem dadas em m, então o volume será de $8,177 \text{ m}^3$.



- Considere uma função vetorial dada em coordenadas cilíndricas por $\mathbf{A} = r \hat{\mathbf{r}} + 3 \hat{\mathbf{z}}$, o que pode representar uma distribuição de densidade de força ou de momento linear em um volume V . Calcule a contribuição total dessa função vetorial em um cilindro de raio a e altura b , centrado no eixo z e acima do plano x - y .

Exemplo 1.4.7 – Solução [1]



- Chamamos a contribuição total da função vetorial de \mathbf{F} e a calculamos por meio de uma integral de volume:

$$\mathbf{F} = \iiint_V \mathbf{A} \, dv = \iiint_V (r \hat{\mathbf{r}} + 3 \hat{\mathbf{z}}) \, dv = \iiint_V r \hat{\mathbf{r}} \, dv + 3 \hat{\mathbf{z}} \iiint_V dv.$$

- Notamos que o vetor unitário $\hat{\mathbf{z}}$ é constante e pode ser retirado do sinal de integral.
- No entanto, o vetor unitário $\hat{\mathbf{r}}$ depende de ϕ e precisa antes ser convertido para coordenadas cartesianas.
- Para tanto, lembramos que $\hat{\mathbf{r}} = \cos \phi \hat{\mathbf{x}} + \sin \phi \hat{\mathbf{y}}$

Exemplo 1.4.7 – Solução [1]



- Com base em tais informações, temos:

$$\begin{aligned}\mathbf{F} &= \iiint_V r(\cos \phi \hat{\mathbf{x}} + \sin \phi \hat{\mathbf{y}}) dv + 3\hat{\mathbf{z}} \iiint_V dv \\ &= \hat{\mathbf{x}} \iiint_V r \cos \phi dv + \hat{\mathbf{y}} \iiint_V r \sin \phi dv + 3\hat{\mathbf{z}} \iiint_V dv.\end{aligned}$$

- Além disso, consideramos que, em coordenadas cilíndricas, temos $dv = r dr d\phi dz$:

$$\begin{aligned}\mathbf{F} &= \hat{\mathbf{x}} \iiint_V r \cos \phi (r dr d\phi dz) + \hat{\mathbf{y}} \iiint_V r \sin \phi (r dr d\phi dz) \\ &\quad + 3\hat{\mathbf{z}} \iiint_V r dr d\phi dz \\ &= \hat{\mathbf{x}} \iiint_V r^2 \cos \phi dr d\phi dz + \hat{\mathbf{y}} \iiint_V r^2 \sin \phi dr d\phi dz \\ &\quad + 3\hat{\mathbf{z}} \iiint_V r dr d\phi dz = 3\pi a^2 b \hat{\mathbf{z}}.\end{aligned}$$

Síntese



- Uma integral de linha produz uma grandeza escalar.
- A integral de linha, no caso em que o campo vetorial é uma força, representa o trabalho realizado para produzir movimento.
- A integral de linha em um caminho fechado é a circulação de um campo vetorial.
- Uma integral de superfície se relaciona ao conceito de fluxo de um campo vetorial.
- Para determinar o vetor unitário de uma superfície fechada, usamos a regra da mão direita.
- As integrais de volume se aplicam tanto a campos escalares quanto a campos vetoriais.

Referências



- [1] IDA, Nathan. *Engineering Electromagnetics*. 3. ed. Suíça: Springer International Publishing, 2015. ISBN: 978-052-178-988-2.